

# Berechnungen zur Geometrie und Arithmetik algebraischer Flächen

Andreas-Stephan Elsenhans

Universität Paderborn

5. Mai 2017

Gemeinsame Arbeit mit J. Jahnel.

## Endliche Körper

### Satz

Der Restklassenring  $\mathbb{Z}/n\mathbb{Z}$  ist genau dann ein Körper, wenn  $n$  eine Primzahl ist.

### Satz

Ist  $q$  die Potenz einer Primzahl, so gibt es genau einen Körper mit  $q$  Elementen. Sonst gibt es keinen Körper mit  $q$  Elementen.

### Notation

$\mathbb{F}_q$  der Körper mit  $q = p^d$  Elementen.  $\text{Frob}_p: x \mapsto x^p$  erzeugt  $\text{Aut}(\mathbb{F}_q)$ .

### Bemerkung

Über endlichen Körpern haben algebraische Varietäten nur endlich viele Punkte.

## Algebraische Varietäten

### Definition

Eine algebraische Varietät ist die Lösungsmenge eines polynomiellen Gleichungssystems im affinen oder projektiven Raum.

### Beispiele

- Der affine Raum  $K^n$ .
- Der projektive Raum

$$\mathbf{P}^n(K) = \{[x_0 : x_1 : \dots : x_n] : (x_0, \dots, x_n) \in K^n \setminus \{0\}\}.$$

- Eine Quadrik im  $\mathbf{P}^2$ , etwa  $X^2 + Y^2 = Z^2$ .
- Eine kubische Kurve in  $K^2$ , etwa  $Y^2 = X^3 + X + 3$ .

### Punktzahlen

In den reellen oder komplexen Zahlen haben obige Mengen unendlich viele Punkte.

## Punktzahlen I

### Satz

Der affine Raum  $\mathbb{F}_q^n$  hat  $q^n$  Punkte.

### Satz

Der projektive Raum  $\mathbf{P}^n(\mathbb{F}_q)$  hat  $q^n + q^{n-1} + \dots + q + 1$  Punkte.

### Beweis:

$$\begin{aligned} \mathbf{P}^n(\mathbb{F}_q) = & \{[1 : a_1 : a_2 : \dots : a_n] \mid a_i \in \mathbb{F}_q\} \\ & \cup \{[0 : 1 : a_2 : \dots : a_n] \mid a_i \in \mathbb{F}_q\} \\ & \vdots \\ & \cup \{[0 : \dots : 0 : 1 : a_n] \mid a_i \in \mathbb{F}_q\} \\ & \cup \{[0 : \dots : 0 : 1]\}. \end{aligned}$$

□

## Quadratische Flächen

### Definition

Eine quadratische Fläche ist die Nullstellenmenge einer quaternären quadratischen Form in  $\mathbf{P}^3(K)$ .

### Satz

Ist  $2 \neq 0$  in  $K$ , so kann jede quadratische Form über  $K$  durch lineare Transformationen diagonalisiert werden.

### Ergebnis

Wir müssen nur Diagonalformen  $aX^2 + bY^2 + cZ^2 + dW^2 = 0$  betrachten. Die Fläche ist glatt, wenn kein Koeffizient null ist. Die Koeffizienten können beliebig um Quadrate abgeändert werden.

### Satz

Es gibt genau 2 Klassen glatter quadratischer Flächen über einem endlichen Körper mit  $2 \neq 0$ . Diese sind durch  $abcd = \square$  und  $abcd \neq \square$  gegeben.  $16abcd$  ist die *Diskriminante* der quadratischen Form.

## Punktzahlen quadratischer Flächen

### Satz

Es gilt

$$\#V(\mathbb{F}_p) = p^2 + 2p + 1 \text{ oder } p^2 + 1,$$

je nachdem ob die Diskriminante ein Quadrat bzw. kein Quadrat ist.

### Beweis:

Durch Rechnen mit Charaktersummen oder unter Verwendung der Theorie quadratischer Formen.

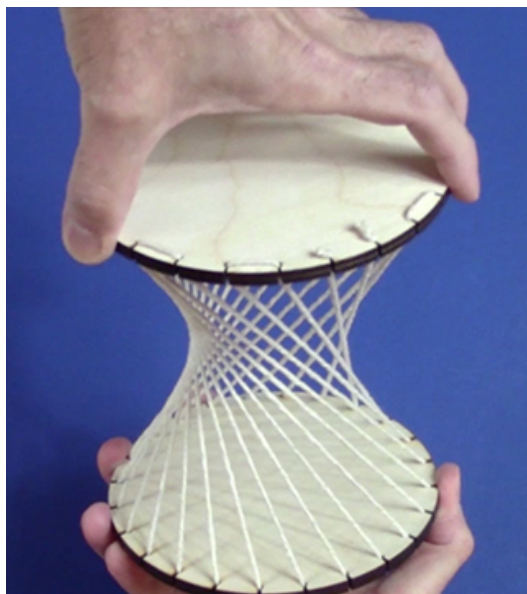
### Satz

Eine glatte quadratische Fläche hat zwei Familien von Geraden.

### Satz

Sei  $V$  eine glatte quadratische Fläche über einem endlichen Körper  $K$  mit  $2 \neq 0$ . Die Geraden sind genau dann über  $K$  definiert, wenn die Diskriminante ein Quadrat ist.

## Geraden auf quadratischen Flächen



## Beispiel

### Gleichung

$$E_1 : Y^2 = X^3 + X + 3$$

### Experiment

Zähle die Punkte  $E_1(\mathbb{Z}/p\mathbb{Z})$ :

$p$	2	3	5	7	11	13	17	19	23	29	31	37	41	43	47
$\#E_1$	2	3	3	5	17	14	16	20	26	35	40	38	38	46	53

### Beobachtung

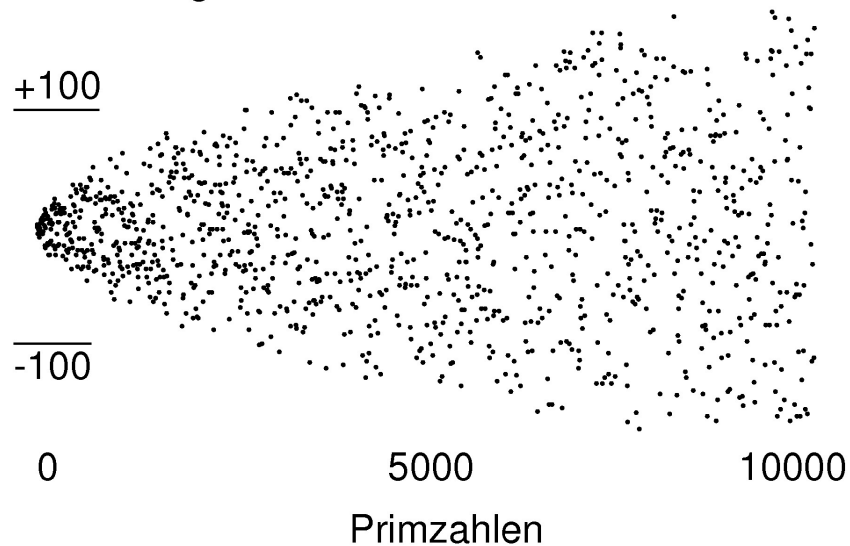
Modulo  $p$  hat die Gleichung etwa  $p$  Lösungen.

### Heuristische Erklärung

Wir nehmen die Werte von  $x^3 + x + 3$  als gleichverteilt in  $K$  an. Trifft man ein Quadrat, so hat man 2 Punkte auf der Kurve, sonst keinen. Die Hälfte der Elemente von  $K^\times$  sind Quadrate.

$$E_1 : Y^2 = X^3 + X + 3 - \text{Abweichungen der Anzahlen}$$

Abweichung



## Streuung der Punktzahl

**Satz** (Hasse)

Es gilt

$$|q - \#E(\mathbb{F}_q)| \leq 2\sqrt{q}$$

für jede glatte affine Kurve  $E$  der Form  $Y^2 = X^3 + aX^2 + bX + c$  und jeden Körper  $\mathbb{F}_q$ .

**Experiment**

$$E_1 : y^2 = x^3 + x + 3$$

$$E_2 : y^2 = x^3 - 17$$

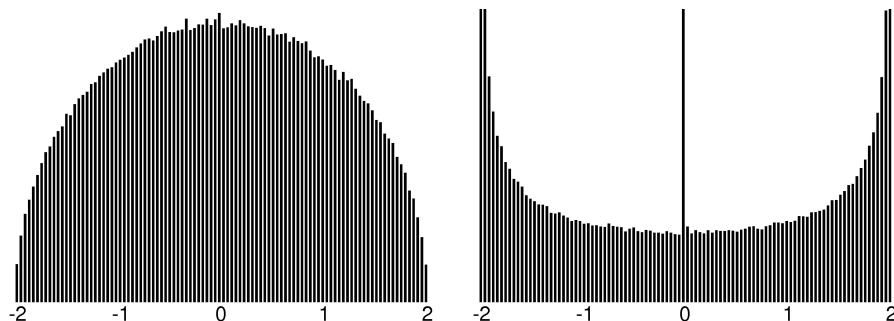
**Experiment:**

Verteilung von

$$\frac{p - \#E_i(\mathbb{F}_p)}{\sqrt{p}}$$

für alle Primzahlen  $p < 10^7$ ,  $i = 1, 2$ .

Histogramm  $\frac{p - \#E_i(\mathbb{F}_p)}{\sqrt{p}}$



$$E_1 : y^2 = x^3 + x + 3$$

$$j(E_1) = \frac{55296}{275}$$

$$E_2 : y^2 = x^3 - 17$$

$$j(E_2) = 0$$

(664579 Primzahlen, 100 Gruppen)

## Die Kurve $Y^2 = X^3 - C$

**Gleichung**

$$E_C : Y^2 = X^3 - C$$

**Dritte Einheitswurzeln**

$$\zeta_3 := \exp\left(\frac{2\pi i}{3}\right), \zeta_3^3 = 1$$

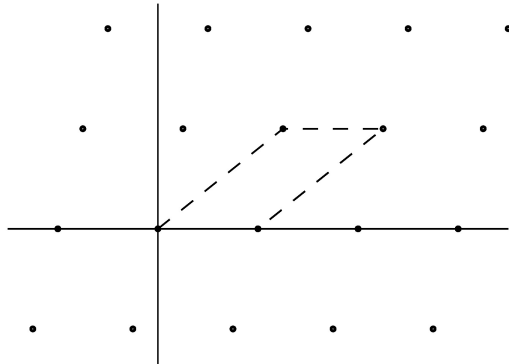
**Automorphismus**

$(X, Y) \mapsto (\zeta_3 X, Y)$  ist Automorphismus von  $E_C$ .

**Punktzahl**

Ist  $p \equiv 2 \pmod{3}$ , so hat jede Zahl modulo  $p$  eine eindeutig bestimmte Kubikwurzel modulo  $p$ . D.h., zu jedem Wert von  $Y$  gibt es genau einen Wert von  $X$ , sodass  $(X, Y)$  auf  $E_C$  liegt.

Folglich hat  $E$  genau  $p$  Punkte, wenn  $p \equiv 2 \pmod{3}$  ist.



## Doppelt-periodische Funktionen

$f(z) = f(z + \lambda)$  für alle  $\lambda \in \Lambda$ .

### Beispiel

Weierstrass- $\wp$ -Funktion  $\wp(z) = \frac{1}{z^2} + \sum_{\lambda \in \Lambda \setminus \{0\}} \left( \frac{1}{(z+\lambda)^2} - \frac{1}{\lambda^2} \right)$ .

# Philosophie

## Punktzahlen als Messreihe

- Ist eine Gleichung gegeben, so kann ihre Lösungsanzahl modulo  $p$  bestimmt werden.
- Dieses liefert eine Folge von *Messwerten*, die der Gleichung zugeordnet sind.
- Diese spiegelt Eigenschaften der Gleichung wider.

## Bisherige Beispiele

- Quadratische Flächen  $\rightsquigarrow$  Definitionskörper der Geraden.
- Kubische Kurve  $\rightsquigarrow$  Endomorphismus (komplexe Multiplikation).

## Frage

Welche Phänomene treten bei anderen Gleichungstypen auf?

## Satz

- Jede  $\Lambda$ -periodische, meromorphe Funktion ist eine rationale Funktion in  $\wp(z), \wp'(z)$ .
- $\wp'(z)^2 = \wp(z)^3 - g_2\wp(z) - g_3$ , mit  $g_2, g_3$  abhängig von  $\Lambda$ .

## Beobachtung

Doppelt-periodische Funktionen sind das gleiche wie die Funktionen auf einer algebraischen Kurve der Form  $Y^2 = X^3 + aX + b$ .

## Analytischer Ansatz

Eigenschaften der Kurven entsprechen Eigenschaften der Gitter.

## Definition

$\Lambda \subset \mathbb{C}$  hat komplexe Multiplikation mit  $\tau \in \mathbb{C} \setminus \mathbb{Z}$  falls  $\tau\Lambda \subset \Lambda$ .

## Beispiel

Das Gitter zu  $Y^2 = X^3 - C$  hat komplexe Multiplikation mit  $\mathbb{Q}(\zeta_3)$  für  $\zeta_3 = \exp(\frac{2\pi i}{3})$ .

# Verbindungen zur Kohomologie

## Theorem (Lefschetzsche Spurformel)

Sei  $V$  eine  $n$ -dimensionale glatte, projektive Varietät über  $\mathbb{F}_p$ . Dann gilt

$$\#V(\mathbb{F}_p) = \sum_{i=0}^{2n} (-1)^i \text{Tr}(\text{Frob}_p | H_{\text{et}}^i(V, \mathbb{Q}_\ell)).$$

## Erinnerung

Die Spur einer linearen Abbildung ist die Summe ihrer Eigenwerte.

## Interpretation

Die Punktzahlen enthalten Information über die Kohomologie inklusive der Galois-Modulstruktur dieser Vektorräume.

## Satz (Deligne-Weil)

Alle Eigenwerte des Frobenius auf  $H_{\text{et}}^i$  sind ganze algebraische Zahlen vom Betrag  $p^{i/2}$ .

## Punktzahlen auf quadratischen Flächen

### Beispiel

Im Fall einer glatten quadratischen Fläche ist  $H^2$  zweidimensional. Erzeuger der Kohomologie sind durch jeweils eine Gerade der beiden Familien gegeben.

Sind die Geraden erst über  $\mathbb{F}_{p^2}$  definiert, so permutiert der Frobenius die beiden Kohomologieklassen. Der Frobenius hat daher die Darstellungsmatrix

$$\begin{pmatrix} 0 & 1 \\ 1 & 0 \end{pmatrix}.$$

Sind die Geraden bereits über  $\mathbb{F}_p$  definiert, so ist die Darstellungsmatrix die Einheitsmatrix. Beim Übergang zur Kohomologie sind alle Eigenwerte mit  $p$  zu multiplizieren.

### Ergebnis

Punktzahl  $p^2 + 1$  oder  $p^2 + 2p + 1$ .

## Summenberechnung

### Potenzen

$f^{p-1}$  ist ein Polynom vom Grad  $(p-1)\deg(f)$ . Es besteht aus sehr vielen Monomen.

### Summation für ein Monom

$$\sum_{x,y,z,w \in \mathbb{F}_p} M(x,y,z,w)$$

- Ist eine Variable in  $M$  nicht enthalten, so ist die Summe  $\equiv 0 \pmod{p}$ .
- Hat eine Variable in  $M$  nicht durch  $p-1$  teilbaren Exponenten, so ist die Summe  $\equiv 0 \pmod{p}$ .

D.h., viele Terme liefern keinen Beitrag.

## Allgemeiner Ansatz: $p$ -adisches Punktezählen

### Idee

Bestimme die Punktzahl von  $V(\mathbb{F}_{p^d})$  modulo Potenzen von  $p$ . Dies wird als  $p$ -adisches Zählen bezeichnet.

### Kleiner Fermatscher Satz

$$x \in \mathbb{F}_p \Rightarrow x^{p-1} \in \{0, 1\}.$$

### Beispiel-Fläche

$$V = \{[X : Y : Z : W] \in \mathbf{P}^3 \mid f(X, Y, Z, W) = 0\}.$$

### Punktzahl

$$\#V(\mathbb{F}_p)(p-1) \equiv \left( p^4 - 1 - \sum_{x,y,z,w \in \mathbb{F}_p} f^{p-1}(x,y,z,w) \right) \pmod{p}.$$

## Folgerungen

### Folgerung

Ist der Grad von  $f$  kleiner als die Anzahl der Variablen, so liefert kein Monom einen Beitrag. Es ergibt sich  $\#V(\mathbb{F}_p) \cdot (p-1) \equiv -1 \pmod{p}$ . D.h.,  $\#V(\mathbb{F}_p) \equiv 1 \pmod{p}$ .

### Folgerung

Jede quadratische und jede kubische Fläche über einem endlichen Körper hat mindestens einen Punkt.

### Folgerung

Für eine Fläche 4. Grades hängt die Punktzahl modulo  $p$  nur vom Koeffizienten von  $(XYZW)^{p-1}$  in  $f^{p-1}$  ab.

## Idee

Obige Rechnung kann auch mit  $f^{k \cdot (p-1)}$  statt  $f^{p-1}$  durchgeführt werden. Beides liefert die Punktzahl von  $V: f = 0$  modulo  $p$ , aber nicht modulo  $p^2$ . Dies sind jeweils  $p$ -adische Approximationen mit Genauigkeit 1.

## Fehlerextrapolation

Bilde eine Linearkombination mehrerer Approximationen mit dem Ziel, den Fehler möglichst weitgehend zu eliminieren.

$$\begin{aligned} f(x_0, y_0, z_0, w_0)^{p-1} &= 1 + ep \\ f(x_0, y_0, z_0, w_0)^{2(p-1)} &= 1 + 2ep + e^2 p^2 \\ \Rightarrow 2f(x_0, y_0, z_0, w_0)^{p-1} - f(x_0, y_0, z_0, w_0)^{2(p-1)} &\equiv 1 \pmod{p^2} \end{aligned}$$

# K3 Flächen

**Definition** Eine K3-Fläche ist eine einfach zusammenhängende algebraische Fläche mit trivialem kanonischen Bündel.

## Modelle von K3-Flächen

**Grad-2-Modell:** Zweiblättrige Überlagerung des  $\mathbf{P}^2$  verzweigt an einer Kurve 6. Grades z.B.  $W^2 = X^6 + Y^6 + Z^6$ .

**Grad-4-Modell:** Fläche 4. Grades im  $\mathbf{P}^3$  z.B.  $X^4 + Y^4 + Z^4 = W^4$ .

**Grad-6-Modell:** Vollständiger Durchschnitt einer Quadrik und einer Kubik in  $\mathbf{P}^4$ .

**Grad-8-Modell:** Vollständiger Durchschnitt dreier Quadriken in  $\mathbf{P}^5$ .

## Bemerkungen

Zu jedem positiven, geraden Grad gibt es Modelle.

K3-Flächen sind eine Verallgemeinerung von elliptischen Kurven.

## Magma-Implementation

In magma steht unsere Implementation eines Verfahrens von David Harvey (UNSW) zur allgemeinen Verfügung.

WeilPolynomialOfDegree2K3Surface

## Performance

Berechnet die Punktzahl im Fall einer Fläche über Körpern wie  $\mathbb{F}_{101^{10}}$  in wenigen Minuten.

# Geometrie von K3-Flächen

## Hodge-Diamant

$$\begin{array}{ccccc} & & & & 1 \\ & & & 0 & 0 \\ & & 1 & 20 & 1 \\ & & 0 & 0 & \\ & & & & 1 \end{array}$$

## Definition

Es gibt einen 22-dimensionalen Vektorraum von 2-dimensionalen Zykeln. Ein Zykel heißt *algebraisch*, wenn er durch algebraische Kurven repräsentiert werden kann. Sonst heißt er *transzendent*.

## Fragen

Kann man die algebraischen Zykeln verstehen oder berechnen?

Trägt die Kohomologie weitere berechenbare Strukturen?

## Algebraische Zykel

### Definitionskörper

Jeder algebraische Zykel kann über einer endlichen Körpererweiterung realisiert werden.

Die absolute Galoisgruppe des Grundkörpers ( $\mathbb{Q}$  oder  $\mathbb{F}_p$ ) operiert daher nur über einen endlichen Quotienten auf dem Raum der algebraischen Zykel. D.h. alle Eigenwerte sind Einheitswurzeln.

### Idee

Bestimme eine Oberschranke für die Dimension des Raums der algebraischen Zykel, indem man die Anzahl der Einheitswurzel-Eigenwerte bestimmt.

### Gute Reduktion

$$\begin{aligned} rkPicV_{\bar{K}} &= \text{Dimension des Raums der algebraischen Zykel} \\ &\leq \text{Dimension des Raums der algebraischen Zykel} \\ &\quad \text{nach Reduktion modulo } p \end{aligned}$$

## Schranken für den Picard-Rang II

### Algorithmus

Eingabe: K3-Fläche  $V$

- Bestimme einige Primzahlen guter Reduktion.
- Berechne zu jeder Primzahl obige Rangschränke und  $\Delta$ .
- Bilde das Minimum der Rangschränken.
- Im Fall inkompatibler Werte von  $\Delta$ , verschärfe die Schranke um 1.

(van Luijk, Kloosterman)

### Test

Erzeuge zufällige K3-Flächen vom Grad 2 und versuche den Rang zu berechnen.

## Schranken für den Picard-Rang

### Algorithmus

Eingabe: K3-Fläche  $V$ , definiert über  $\mathbb{Q}$  mit guter Reduktion an  $p$ .

- Berechne die Punktzahl von  $V(\mathbb{F}_p)$ ,  $V(\mathbb{F}_{p^2})$ ,  $\dots$
- Bestimme mit den Newton-Identitäten das charakteristische Polynom  $\Phi$  des Frobenius.
- Bestimme die Anzahl der Einheitswurzel-Eigenwerte des Frobenius auf  $H_{\text{et}}^2(V, \mathbb{Q}_\ell(1))$ .
- Gebe diese Anzahl als Oberschranke für den Picard-Rang zurück.

### Artin-Tate Formel

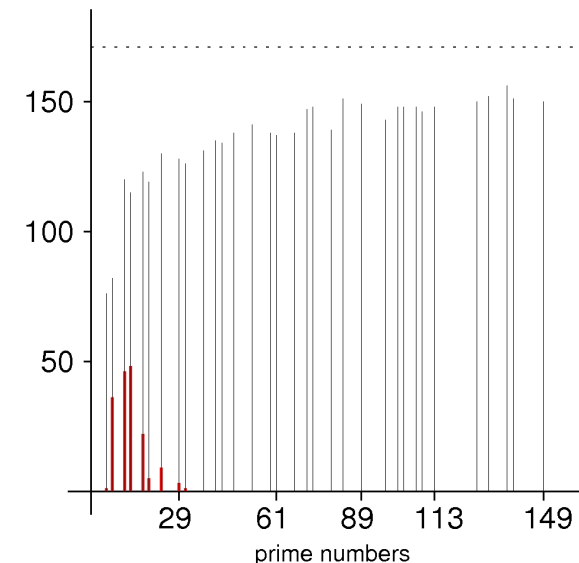
$$|\Delta| = \frac{\lim_{T \rightarrow q} \frac{\Phi(T)}{(T-q)^\rho}}{q^{21-\rho} \# \text{Br}(V)}$$

$\# \text{Br}(V)$  ist immer ein Quadrat.

## Test des Picard-Rang Algorithmus

reductions to rank 2

largest prime used to get rank



## Beobachtung

Die Methode findet eine scharfe Obergrenze in allen Testbeispielen.

## Theorem (F. Charles)

Hat die K3-Fläche  $V$  keine reelle Multiplikation, so haben die Primzahlen, die auf scharfe Rangsschranken führen, positive Dirichlet-Dichte.

## Reelle Multiplikation

Reelle Multiplikation bedeutet, dass die Kohomologie der Fläche als Hodge-Struktur zusätzliche Endomorphismen hat.

## Aufgabe

Finde K3-Flächen mit zusätzlichen Endomorphismen.

# Nicht-ordinäre Primzahlen

## Definition

Für eine K3-Fläche  $V$  heißt die Primzahl  $p$  nicht-ordinär, wenn  $\#V(\mathbb{F}_p) \equiv 1 \pmod{p}$  gilt.

## Experiment

Eine zufällige K3-Fläche hat nur sehr wenige nicht-ordinäre Primzahlen.

## Beobachtung

In den obigen Beispielen sind alle Primzahlen  $p \equiv 3 \pmod{4}$  bzw.  $p \equiv 2 \pmod{3}$  nicht-ordinär.

## Frage

Können wir weitere Beispiele mit vielen nicht-ordinären Primzahlen finden?

## Flächen als Überlagerungen

$$V_1: w^4 = f_4(x, y, z)$$

$$V_2: f_2(x, y, z, w) = 0, u^3 = f_3(x, y, z, w)$$

- $V_1$  ist glatte Quartik. (Grad 4 Modell)  
 $V_1$  ist 4-blättrige Überlagerung des  $\mathbf{P}^2$ .  
 $V_1$  hat den Automorphismus  $w \mapsto iw$ .
- $V_2$  ist K3-Fläche als Grad-6-Modell.  
 $V_2$  ist 3-blättrige Überlagerung von  $Q: f_2(x, y, z, w) = 0$ .  
 $V_2$  hat den Automorphismus  $u \mapsto \zeta_3 u$ .
- $p \equiv 3 \pmod{4} \Rightarrow \#V_1(\mathbb{F}_p) = \#\{w^2 = f_4(x, y, z)\} \equiv 1 \pmod{p}$
- $p \equiv 2 \pmod{3} \Rightarrow \#V_2(\mathbb{F}_p) = \#Q(\mathbb{F}_p) \equiv 1 \pmod{p}$

# Suche nach Beispielen

## Suchraum

Betrachte K3-Flächen der Form

$$w^2 = f(x, y, z)g(x, y, z).$$

Der Suchraum ist das kartesische Produkt zweier Listen von Formen.

## Idee

Berechne so viele Daten wie irgend möglich für jede einzelne Form.



## Punkte zählen mit Bit-Operationen

### Initialisierung

- Liste alle Punkte von  $\mathbf{P}^2(\mathbb{F}_p)$  auf.
- Werte alle Formen in allen Punkten aus.
- Codiere  $f = 0$  oder  $f \neq 0$  für jede Form  $f$  in Bit-Vektoren.
- Codiere  $f = \square$  oder  $f \neq \square$  für jede Form  $f$  in Bit-Vektoren.

### Zählen

Für jedes Paar  $f_i, g_j$ :

- Wende Bit-Operationen auf die Bit-Vektoren an und bestimme
- Bitvektor, der  $f_i g_j = 0$  oder  $\neq 0$  codiert.
- Bitvektor, der  $f_i g_j = \square$  oder  $\neq \square$  codiert.
- Benutze popcount um die Lösungszahl zu bestimmen.

### Geschwindigkeit

Mehr als  $10^6$  Flächen pro Sekunde.

## Ergebnis

### Rohdaten

Einzeln auffällige Flächen.

### Familien

Diese können mit *viel Gefühl* zu Familien zusammengesetzt werden.

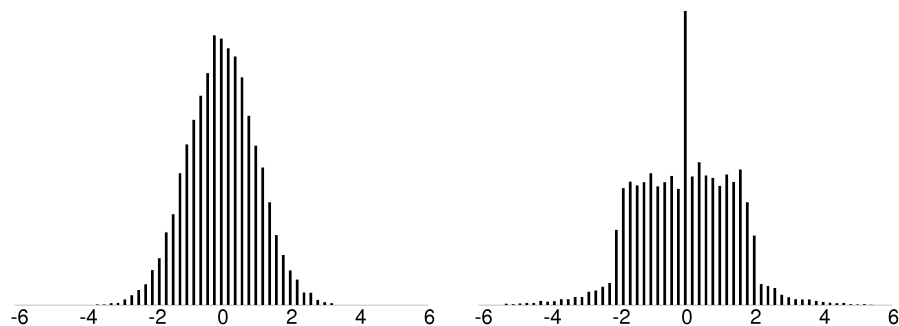
### Beispiel

$$w^2 = [(\frac{1}{8}t^2 - \frac{1}{2}t + \frac{1}{4})y^2 + (t^2 - 2t + 2)yz + (t^2 - 4t + 2)z^2] \\ [(\frac{1}{8}t^2 + \frac{1}{2}t + \frac{1}{4})x^2 + (t^2 + 2t + 2)xz + (t^2 + 4t + 2)z^2] \\ [2x^2 + (t^2 + 2)xy + t^2y^2].$$

### Beobachtung

Alle gefundenen Familien sind rationale Kurven im Gleichungsraum.

## Verteilung der normalisierten Abweichung



$$V_1 : w^2 = xyz(x + y + z)(3x + 5y + 7z)(-5x + 11y - 2z)$$

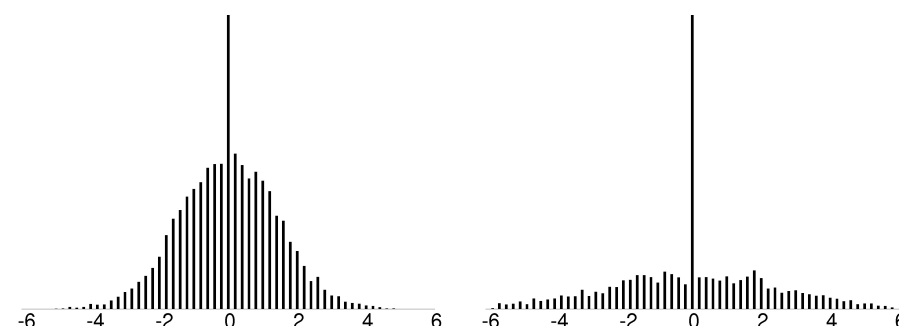
$$V_2 : w^2 = xyz(x^3 + 3x^2y - 2x^2z + 5xy^2 - xz^2 + 3y^3 - 2y^2z - 3yz^2 + 2z^3)$$

$$M_1 = [0.0153, 0.9894, 0.0291, 2.9546, 0.1504] \quad (B = 175000)$$

$$M_2 = [-0.0039, 0.9705, -0.0865, 5.6756, -1.4465] \quad (B = 250000)$$

$$V_1 \text{ generisch, } V_2 \text{ nicht-ordinär an allen Primzahlen mit } \left(\frac{3}{p}\right) = -1$$

## Verteilung der normalisierten Abweichung II



$$V_3 : w^2 = xyz(x + y + z)(1x + 2y + 3z)(5x + 8y + 20z)$$

$$V_4 : w^2 = xyz(x^3 - 3x^2z - 3xy^2 - 3xyz + y^3 + 9y^2z + 6yz^2 + z^3)$$

$$M_3 = [-0.0004, 0.992, -0.0248, 5.9371, -0.4236] \quad (B = 300000)$$

$$M_4 = [-0.0017, 0.9892, -0.0974, 14.3608, -3.38] \quad (B = 300000)$$

$$V_3, V_4 \text{ komplexe Multiplikation mit } \mathbb{Q}(i), \mathbb{Q}(i, \zeta_9 + \zeta_9^{-1})$$

### Kohomologie als Gitter

Die Kohomologie  $H^2$  mit Koeffizienten in  $\mathbb{Z}$  ist ein 22-dimensionales Gitter. Das transzendente Gitter  $\Lambda$  ist das orthogonale Komplement zum Erzeugnis aller algebraischen Kurven in  $H^2$ .

### Endomorphismen

Ein Endomorphismus ist eine lineare Abbildung  $\phi$  mit  $\phi(\Lambda) \subset \Lambda$ .

### Erklärung

Im obigen Fall hat  $\Lambda$  einen nicht-trivialen Automorphismus mit Minimalpolynom  $X^2 - 3$ .

### Bemerkung

Dies wird als reelle Multiplikation bezeichnet.

### Startpunkt

Berechnung der Punktzahlen algebraischer Varietäten über endlichen Körpern.

### Lefschetz-Spurformel

Punktzahlen stehen in enger Verbindung zur Kohomologie der Varietät.

### Öffentlicher Code

magma-Implementation von Punktzählalgorithmen für K3-Flächen.

### Gefundene Beispiele

K3-Flächen mit vielen nicht-ordinären Primstellen und verschiedenen Endomorphismenkörpern.

Vielen Dank!